

# Intratumoral distribution of $^{64}\text{Cu}$ -ATSM and $^{18}\text{F}$ -FDG in VX2 tumor xenografted rabbit

Ran Ji Yoo<sup>1,3</sup>, Ji Woong Lee<sup>1</sup>, Kyo Chul Lee<sup>1</sup>, Gwang Il An<sup>1</sup>, In Ok Ko<sup>1</sup>, Wee Sup Chung<sup>1</sup>, Ji Ae Park<sup>1</sup>, Kyeong Min Kim<sup>1</sup>, Yang-Kyu Choi<sup>3</sup>, Joo Hyun Kang<sup>1</sup>, Sang Moo Lim<sup>2</sup>, and Yong Jin Lee<sup>1,\*</sup>

<sup>1</sup>Molecular Imaging Research Center, Korea Institute of Radiological & Medical Sciences (KIRAMS), Seoul, Korea;

<sup>2</sup>Department of Nuclear Medicine, Korea Institute of Radiological & Medical Sciences, Seoul, Korea;

<sup>3</sup>Department of Laboratory Animal Medicine, College of Veterinary Medicine, Konkuk University, Seoul, Korea

## ABSTRACT

$^{64}\text{Cu}$ -labeled diacetyl-bis( $N^4$ -methylthiosemicarbazone) is a promising agent for internal radiation therapy and imaging of hypoxic tissues. In the study, we confirmed hypoxia regions in VX2 tumor implanted rabbits with injection  $^{64}\text{Cu}$ -ATSM and  $^{18}\text{F}$ -FDG using positron emission tomography (PET)/computed tomography (CT). PET images with  $^{18}\text{F}$ -FDG and  $^{64}\text{Cu}$ -ATSM were obtained for 40 min by dynamic scan and additional delayed PET images of  $^{64}\text{Cu}$ -ATSM the acquired up to 48 hours. Correlation between intratumoral  $\text{O}_2$  level and  $^{64}\text{Cu}$ -ATSM PET image was analyzed.  $^{64}\text{Cu}$ -ATSM and  $^{18}\text{F}$ -FDG were intravenously co-injected and the tumor was dissected and cut into slices for a dual-tracer autoradiographic analysis. In the PET imaging,  $^{64}\text{Cu}$ -ATSM in VX2 tumors displayed a specific uptake in hypoxic region for 48 h. The uptake pattern of  $^{64}\text{Cu}$ -ATSM in VX2 tumor at 24 and 48 h did not match to the  $^{18}\text{F}$ -FDG. Through ROI analysis, in the early phase (dynamic scan),  $^{18}\text{F}$ -FDG has positive correlation with  $^{64}\text{Cu}$ -ATSM but late phase (24 and 48 h) of the  $^{64}\text{Cu}$ -ATSM showed negative correlation with  $^{18}\text{F}$ -FDG. High uptake of  $^{64}\text{Cu}$ -ATSM in hypoxic region was responded with significant decrease of oxygen pressure, which confirmed by  $^{64}\text{Cu}$ -ATSM PET imaging and autoradiographic analysis. In conclusion,  $^{64}\text{Cu}$ -ATSM can utilize for specific targeting of hypoxic region in tumor, and discrimination between necrotic- and viable hypoxic tissue. *J Radiopharm Mol Probes 1(2):123-129, 2015*

**Key Words:**  $^{64}\text{Cu}$ -ATSM,  $^{18}\text{F}$ -FDG, PET / CT, VX2 tumor, Hypoxia

## Introduction

저산소증은 조직 내에서 정상 수준 이하로 산소 장력이 감소한 상태로 종양 세포의 발달에서 중요한 역할을 한다(1,2). 종양 내의 저산소 부분의 영상을 획득하고 분석하는 것은 미세환경을 이해하는데 필수적이다. 또 저산소증 종양 세포는 방사선 치료와 화학요법에 저항성을 보이기 때문에 영상을 이용한 종양 내 저산소증의 평가는 종양치료의 계획 및 평가에 유용하다(3).

최근 수십 년간 비침습성 산소 분압을 측정하는 촬영

방법이 연구되어 왔다(4). 양전자방출단층촬영(PET)을 이용한 다수의 유망 양전자 방출 방사성 의약품이 개발되고 있다(4-6). 방사성 핵종으로 종양의 저산소증을 검출하고자 한 시도는 1981년  $^{14}\text{C}$ -misonidazole이 처음이었다. 이는  $^{14}\text{C}$ -misonidazole이 선택적으로 종양 내에 저산소 세포 대사에 결합한다는 것을 확인함으로써 증명되었다(7). 그 후,  $^{18}\text{F}$ -misonidazole은 종양 내 저산소증의 비침습적 영상을 위한 PET 추적자로 제안되었다. 또한 이러한 목적을 위해 평가된 다른 여러 추적자들은  $^{60/64}\text{Cu}$ 와  $^{18}\text{F}$ -EF5로 표시한  $\text{Cu(II)}$ -diacetyl-bis( $N^4$ -methyl-thiosemicarbazone) ( $\text{Cu}$ -ATSM),

Received: November 20, 2015 / Revised: December 22, 2015 / Accepted: December 24, 2015

**Corresponding Author:** Yong Jin Lee

Molecular Imaging Research Center, Korea Institute of Radiological and Medical Sciences (KIRAMS), 75 Nowon-ro, Nowon-gu, Seoul 01812, Korea  
Tel +82-2-970-1364, Fax: +82-2-970-1341, E-mail: yjlee@kirams.re.kr

Copyright © 2015, The Korean Society of Radiopharmaceuticals and Molecular Probes

<sup>18</sup>F-fluoroazomycin arabinoside (<sup>18</sup>F-FAZA) 등이 있다(5,8). 이러한 방사성의약품들 중 Cu-ATSM은 PET영상을 위한 유망한 방사성의약품이다(9-16). 이전 논문들의 *in vitro* 데이터에서 Cu-ATSM은 종양세포의 많은 종류의 저산소 환경에 축적된다고 알려져 있다(12,17,18). 임상 연구는 Cu-ATSM 흡수에 의해 저산소 종양의 치료 저항성과 전이 능력이 연관되어 있음을 증명하고 있다(9,19-21). 저산소 부분의 Cu-ATSM축적 메커니즘은 저산소증과 같은 세포 내 높은 환원 조건에서 Cu-ATSM의 Cu(II)은 Cu(I)로 환원되어 즉시 ATSM 리간드로부터 방출하고 세포에 포획되는 시스템이다(11,17,22-24). 종양에서의 Cu-ATSM의 분포는 PET 영상의 트레이서로 일반적으로 사용되는 <sup>18</sup>F-fluorodeoxyglucose (<sup>18</sup>F-FDG)의 분포와 다르다고 보고되어 있다(15,25). Tanaka 등의 논문에서는(15) <sup>18</sup>F-FDG가 혈관이 과다한 지역 및 괴사되어 가는 세포 증식 지역을 대상으로 영상화되고, Cu-ATSM은 세포증식이 정지되었지만, 약간의 괴사가 진행된 과다혈관분포 지역에서 가장 높은 흡수를 보인다고 보고하였다.

본 연구에서 우리는 VX2종양세포를 이식한 토끼를 임상용PET 장비를 이용하여 종양 내 저산소 환경에서의 <sup>64</sup>Cu-ATSM과 <sup>18</sup>F-FDG의 분포를 영상으로 확인하였다. 또한, 정확한 해부학적 영상을 위해 MRI영상도 획득하였다. 산소분압측정 장비를 이용한 종양 내 산소 분포 확인과 자가방사기록법을 이용한 조직에서의 방사성의약품 분포 정도를 영상과 비교하였다.

## Materials and Methods

### 1. <sup>64</sup>Cu-ATSM합성

가속기로부터 <sup>64</sup>Ni(p,n)<sup>64</sup>Cu 핵반응을 통하여 얻어지는 <sup>64</sup>CuCl<sub>2</sub> 용액을 용이한 표지반응을 위하여 용액을 가열과 질소를 불어서 건조시킨다. 이렇게 건조된 <sup>64</sup>CuCl<sub>2</sub> 바이알에 1M NaOAc 버퍼용액으로 pH를 5.5로 맞추고, DMSO 10 uL에 H<sub>2</sub>ATSM 10 ug을 녹인 용액을 첨가하여 10분 동안 실온에서 반응시킨다. 방사성표지가 다 끝난

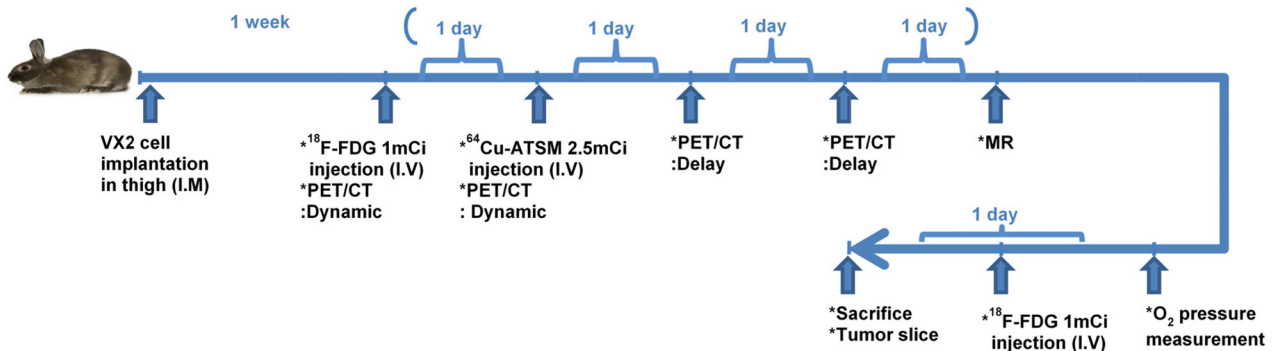


Figure 1. Schematic diagram of VX2 tumor xenografted rabbit models.

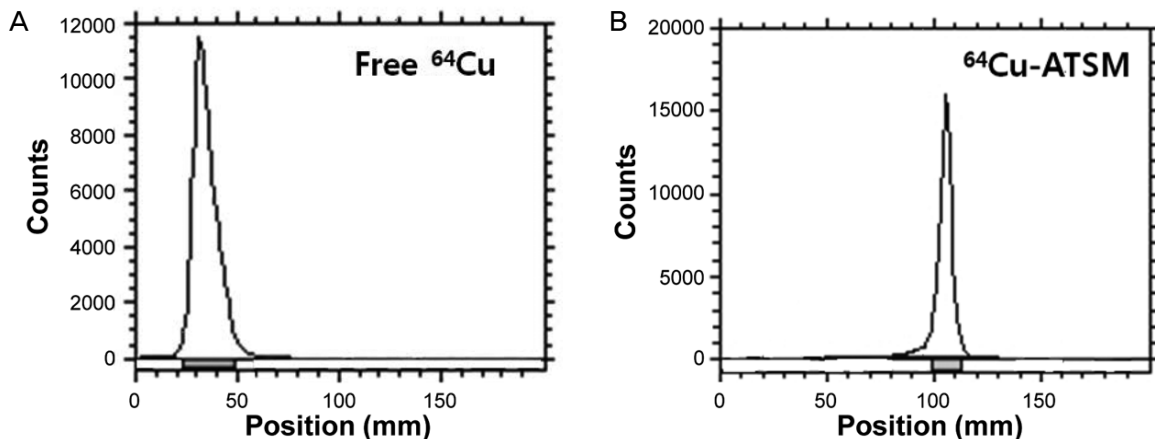


Figure 2. Chromatogram of <sup>64</sup>Cu-ATSM. (A) Free <sup>64</sup>Cu  $R_f=0.0$ , (B) <sup>64</sup>Cu-ATSM:  $R_f=0.9$ .

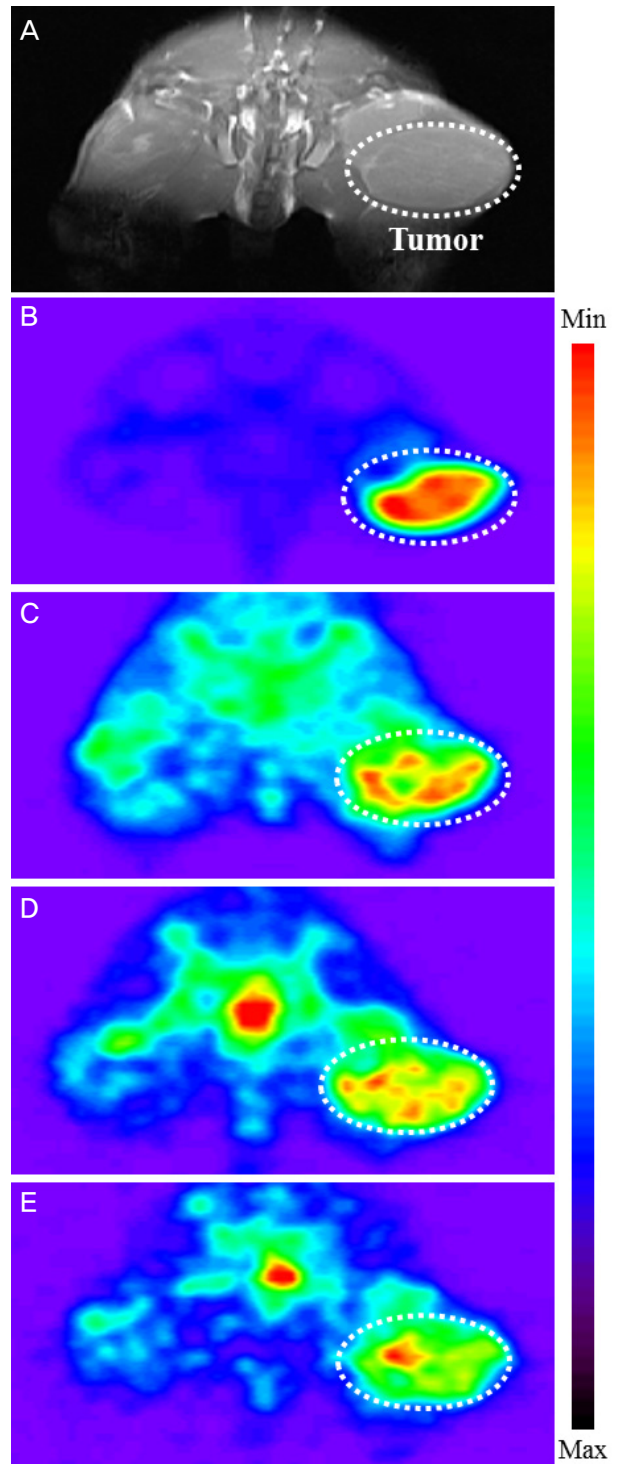
반응용액을 C18 Sep-Pak 카트리지에 통과 시킨 후, 증류수(D.W)로 여러 번 세척하여 불순물을 완전히 제거한다. 최종적으로 1 mL의 에탄올을 이용하여 카트리지에 흡착된 순수  $^{64}\text{Cu}$ -ATSM만 획득한다. 이렇게 얻어진  $^{64}\text{Cu}$ -ATSM의 품질관리로서 방사화학적 순도를 알아보기 위해 radio-TLC를 시행하였다(Figure 2). 이동상(mobile phase)은 95%  $\text{CH}_3\text{CN}/\text{Water}$ 를 사용하였다. pH는 pH paper를 통해 확인하였다. 최종생산물인 에탄올 상태의 순수  $^{64}\text{Cu}$ -ATSM은 생리식염수(0.9% saline)를 섞어 10% 에탄올 상태로 만든 다음, 최종적으로 0.22  $\mu\text{m}$ 의 멸균 필터를 통과시켜 멸균 용기로 옮긴다.

## 2. VX2 종양모델

VX2 암종(Seoul National University Hospital)을 이식해 놓은 토끼(New Zealand white rabbit, female, n=4)에서 종양만 분리 후 Phosphate-Buffered Saline (PBS, GibcoBRL, Life Technologies, Gaithersburg, MD, USA)에 넣고 잘게 잘라준 후 1 mL를 마취시킨 새로운 토끼의 허벅지 근육에 이식하여 종양을 키운다.

## 3. PET/CT와 MRI 영상

전체적인 실험일정은 Figure 1과 같이 진행하였다. 임상용 PET/CT (Biograph, Siemens Medical System) 장비를 이용하여 VX2 암 종을 이식한 후 1주일된 토끼로 영상을 획득하였다. 일주일을 한 과정으로  $^{18}\text{F}$ -FDG (1 mCi)를 정맥주사로 투여하고 40분 후의 영상을 얻었고 하루 뒤에  $^{64}\text{Cu}$ -ATSM (2.5 mCi)를  $^{18}\text{F}$ -FDG와 같은 방법으로 정맥주사로 투여하고 40분 후의 영상을 얻었다. 그리고  $^{64}\text{Cu}$ -ATSM 영상은 주사 후 24시간과 48시간의 지연 영상을 각각 얻었다. 그 후 3T MRI (magnetic resonance imaging, Magnetom Tim-Trio)에서 surface coil을 이용하여 T1 및 T2 강조 영상을 얻었다. T1 강조영상은 VIBE 시퀀스를 사용하여 TR/TE=11.6 ms/3.37 ms, FA=10°, FOV=100×90.6 mm, Matrix=290×320, AVE=2의 조건에서 획득하였고, T2 강조영상은 turbo spin echo 시퀀스를 사용하여 TR/TE=3150 ms/38 ms, FA=120°, FOV=100×100 mm, Matrix=320×320, AVE=2의 조건으로 획득하였다. 가돌리늄 조영증강 MR 영상은 Omniscan (Gadodiamide, Gd-DTPA-BMA) 0.1 mmol/kg을 주입한 후에 T1 강조영상을 얻었다.



**Figure 3.** Imaging of MRI and PET in VX2 tumor xenografted rabbit model. (A) MRI, (B)  $^{18}\text{F}$ -FDG, (C)  $^{64}\text{Cu}$ -ATSM (D)  $^{64}\text{Cu}$ -ATSM\_24 h, (E)  $^{64}\text{Cu}$ -ATSM\_48 h.

#### 4. 영상분석

획득한 영상으로 mean standardized uptake value (SUV<sub>mean</sub>) 값을 구해준 후 IRW(Inveon Research Workplace) 프로그램을 이용하여 각 종양 내 동일 부분의 ROI를 구획 후, 수치화하여 결정계수(coefficient of determination, R<sup>2</sup>), 상관계수(coefficient of correlation, r)와 P-value를 구하였다.

#### 5. 산소분압측정

토끼 허벅지의 종양에 임의로 4개의 점을 정한 후 1 cm간격으로 산소분압측정기(OXYLITE, Oxford Optronix Ltd, UK)에 연결한 O<sub>2</sub> 탐침(pO<sub>2</sub> E-Series Sensor, Oxford Optronix Ltd, UK)을 이용하여 종양조직 내의 깊이에 따른 부분별 산소분압도를 측정하였다.

#### 6. 자가방사기록법

영상획득에 이용된 토끼에 희생 1시간 전 <sup>18</sup>F-FDG 1 mCi를 정맥주사 후, 토끼의 VX2 종양을 적출하여 -80°C에서 1시간 얼린 후 냉동전신절삭기를 이용해 0.5 cm 간격으로 50 μm 냉동절편을 만들어 BAS image plate에 감광시켜 <sup>18</sup>F-FDG 영상을 획득하였다. 약 13시간의 반감기를 가진 <sup>64</sup>Cu-ATSM의 특성을 이용하여 PET 영상 획득을 위해 2.5 mCi 주사하였던 같은 조직에서 24시간 후에 감광하여 <sup>64</sup>Cu-ATSM의 종양 내 분포를 확인하였다.

## Results

### 1. <sup>64</sup>Cu-ATSM의 생산

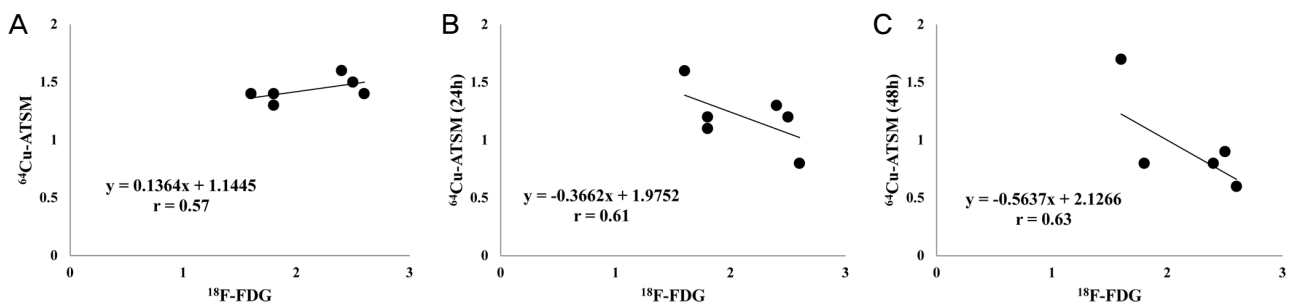
<sup>64</sup>CuCl<sub>2</sub>와 H<sub>2</sub>ATSM을 실온에서 10분간 반응 후 방사성표지가 다 끝난 반응용액을 C18 Sep-Pak 카트리지에 통과시켜 순수 <sup>64</sup>Cu-ATSM만 획득 시 방사화학 수율은 95%로 나타났으며, 크로마토그래피를 확인한 결과 <sup>64</sup>Cu-ATSM의 R<sub>f</sub> 값은 0.9, <sup>64</sup>CuCl<sub>2</sub>의 R<sub>f</sub> 값은 0.0이었다(Figure 2).

### 2. <sup>64</sup>Cu-ATSM과 <sup>18</sup>F-FDG- PET/CT 영상 비교

<sup>64</sup>Cu-ATSM 분포는 초기영상과 지연영상에서 섭취가 다르게 나타났다. <sup>18</sup>F-FDG영상과 비교하여 보았을 때 <sup>64</sup>Cu-ATSM 24시간 이전의 초기영상은 유사한 패턴을 나타냈다(Figure 3). 각 영상의 종양 내 6개 부분의 ROI 분석에서 <sup>18</sup>F-FDG는 초기 <sup>64</sup>Cu-ATSM 값과 양의 상관관계수( $r = 0.57, P < 0.01$ )를 나타냈고, 24시간과 48시간 이후의 <sup>64</sup>Cu-ATSM 값과는 음의 상관관계수( $r = -0.61, P < 0.01, r = -0.63, P < 0.01$ )를 확인할 수 있었다(Figure 4).

### 3. <sup>64</sup>Cu-ATSM과 <sup>18</sup>F-FDG의 조직내 분포 비교

종양 내의 산소분압측정 결과는 <sup>64</sup>Cu-ATSM 24시간 이후의 지연영상과 광범위하게 일치하였다(Figure 5). 자가방사기록법을 이용한 실험에서, <sup>64</sup>Cu-ATSM이 축적된 조직은 주로 활성화된 세포로 이루어져 저산소 상태로 발전될 예정의 종양 주위에서 관찰되었다. <sup>18</sup>F-FDG가 축적된 조직은 <sup>64</sup>Cu-ATSM이 축적된 조직뿐만 아니라 이미 괴사된 세포도 상당부분 관찰되었고 <sup>64</sup>Cu-ATSM이 축적된 부분보다 더 광범위하게 분포되었다(Figure 6). <sup>64</sup>Cu-ATSM의 섭취가 높은 조직은 산소분압측정 결과에서도 조직

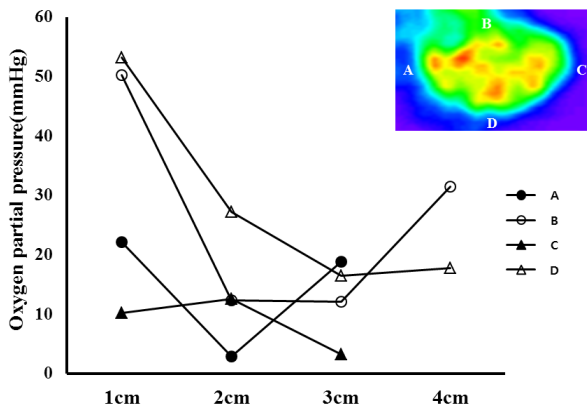


**Figure 4.** Analyse of ROI in PET imaging. Correlation between <sup>18</sup>F-FDG and <sup>64</sup>Cu-ATSM (A), <sup>18</sup>F-FDG and <sup>64</sup>Cu-ATSM<sub>24 h</sub> (B), <sup>18</sup>F-FDG and <sup>64</sup>Cu-ATSM<sub>48 h</sub> (C).

내 산소포화도가 현저하게 낮게 나타난다는 것을 확인할 수 있었다.

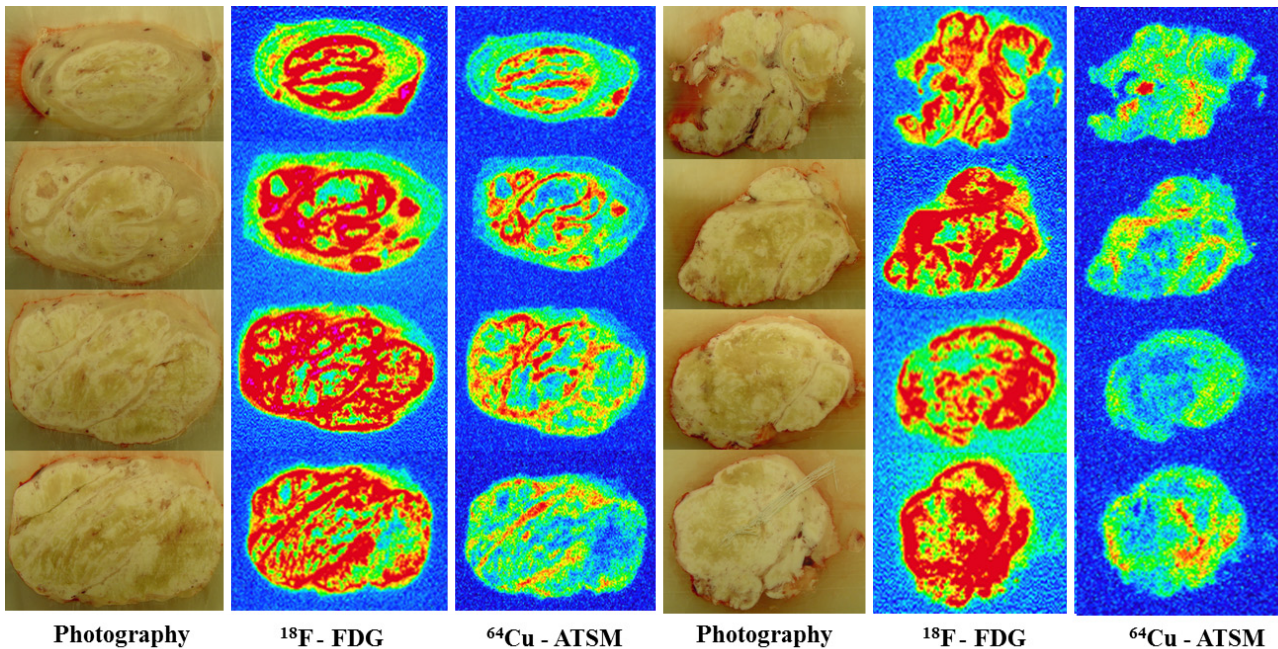
### Discussion

Cu-ATSM은 저산소 부분의 영상제로써 개발되었고, 심장과 종양에서의 저산소 영상에  $^{60}\text{Cu}$ - 또는  $^{62}\text{Cu}$ -ATSM이 유용하다고 이전 논문들에 기술되었다(14,26,27). 종양학에서,  $^{64}\text{Cu}$ -ATSM은 내부 방사선 치료의 잠재적인 의약품으로 고려되고 있다(28). 저산소 환경의 종양 내 Cu-ATSM 축적의 특이성에 대한 연구가 필요하다.



**Figure 5.** O<sub>2</sub> pressure measurement in VX2 tumor. O<sub>2</sub> probe measurement interval: 1 cm.

따라서, 본 연구에서는 임상용 PET/CT를 이용하여 토끼의 저산소 상태 종양 내  $^{64}\text{Cu}$ -ATSM과  $^{18}\text{F}$ -FDG의 분포를 비교한 결과 저산소 종양 내  $^{64}\text{Cu}$ -ATSM의 섭취가 시간이 경과함에 따라  $^{18}\text{F}$ -FDG의 섭취 패턴이 초기영상( $^{64}\text{Cu}$ -ATSM 주사 직후)과 지연영상(24 또는 48시간)에서 다르게 나타나는 것을 확인하였다(Figure 3). 이 결과는 ROI분석에 따른 상관계수에서도 차이를 나타냈다(Figure 4). 토끼의 종양 내 산소분압을 측정된 결과로는 종양의 가장자리보다는 중심부위의 산소분압이 낮아지는 분포를 확인할 수 있었고, 이 데이터를 토대로 종양의 가운데 부분으로 저산소 환경이 형성된 것을 추측할 수 있다(Figure 5). 자가방사측정법으로는  $^{64}\text{Cu}$ -ATSM과  $^{18}\text{F}$ -FDG가 동시에 주사된 토끼에서 적출한 조직을 절단해 각 방사성의약품의 조직 내 분포를 비교하였는데, 대부분의 조직에서  $^{18}\text{F}$ -FDG가 섭취된 조직 중 일부분에  $^{64}\text{Cu}$ -ATSM이 섭취된 것을 확인할 수 있었고,  $^{64}\text{Cu}$ -ATSM이 섭취된 부분은 활성화된 세포가 대부분 분포하고 있는 것을 조직사진으로 확인할 수 있었다(Figure 6). 또, 자가방사측정 데이터의  $^{64}\text{Cu}$ -ATSM 섭취가 높은 부분은 PET영상의  $^{64}\text{Cu}$ -ATSM 섭취가 높은 부분과 일치할 뿐만 아니라 조직 내 산소분포가 낮은 부분과도 일치하는 것을 확인할 수 있었다. 이 결과들을 토대로  $^{18}\text{F}$ -FDG는 종양에서 광범위하게 저산소 조직을 영상화하는 반면,  $^{64}\text{Cu}$ -ATSM이 저산소 조직 영상화에 탁월한 역할을 한다는 것을 입증하였다.  $^{64}\text{Cu}$ -ATSM



**Figure 6.** Double-tracer autoradiography with  $^{18}\text{F}$ -FDG and  $^{64}\text{Cu}$ -ATSM in VX2 tumor. Comparing  $^{18}\text{F}$ -FDG and  $^{64}\text{Cu}$ -ATSM in the same tissue.

은 저산소 조직으로 발전 가능한 세포가 존재하는 종양 부분을 영상화하는 것에  $^{18}\text{F}$ -FDG보다 더 자세한 정보를 제공할 수 있다.  $^{64}\text{Cu}$ -ATSM은 또한 저산소 부분을 보다 특이적으로 영상화하여 저산소 상태이거나 저산소 상태로 진행 가능한 영역을 표적화하여 종양 치료에서의 주목표 중 하나인 영상으로 저산소 환경을 검출할 수 있는 유용한 수단이다.

## Conclusion

$^{64}\text{Cu}$ -ATSM의 지연영상이  $^{18}\text{F}$ -FDG의 영상보다 특이적으로 저산소 부분을 영상화하는 것으로 나타났고, 이를 종양 내 산소 분압과 자가방사기록법 실험을 통해서도 확인해 볼 수 있었다. 따라서  $^{64}\text{Cu}$ -ATSM의 섭취된 영상을 통해 종양내의 저산소 조직의 정도 및 위치 등을 보다 정확하게 평가할 수 있을 것이다.

## Acknowledgments

이 연구는 미래창조과학부 한국원자력의학원 연구운영비지원사업(No. 50441-2015)과 원자력연구개발사업(NRF-2012M2A2A7013480)의 지원을 받아 수행하였음.

## References

- Brahimi-Horn C, Berra E, Pouyssegur J. Hypoxia: the tumor's gateway to progression along the angiogenic pathway. *Trends Cell Biol* 2001;11:S32-36.
- Goonewardene TI, Sowter HM, Harris AL. Hypoxia-induced pathways in breast cancer. *Microsc Res Tech* 2002;59:41-48.
- Chitneni SK, Palmer GM, Zalutsky MR, Dewhirst MW. Molecular imaging of hypoxia. *J Nucl Med* 2011;52:165-168.
- Padhani AR, Krohn KA, Lewis JS, Alber M. Imaging oxygenation of human tumours. *Eur Radiol* 2007;17:861-872.
- Mees G, Dierckx R, Vangestel C, Van de Wiele C. Molecular imaging of hypoxia with radiolabelled agents. *Eur J Nucl Med Mol Imaging* 2009;36:1674-1686.
- Lewis JS, Welch MJ. PET imaging of hypoxia. *J Nucl Med* 2001;45:183-188.
- Chapman JD, Franko AJ, Sharplin J. A marker for hypoxic cells in tumours with potential clinical applicability. *Br J Cancer* 1981;43:546-550.
- Krohn KA, Link JM, Mason RP. Molecular imaging of hypoxia. *J Nucl Med* 2008;49(Suppl):129S-148S.
- Dehdashti F, Grigsby PW, Mintun MA, Lewis JS, Siegel BA, Welch MJ. Assessing tumor hypoxia in cervical cancer by positron emission tomography with  $^{60}\text{Cu}$ -ATSM: relationship to therapeutic response a preliminary report. *Int J Radiat Oncol Biol Phys* 2003;55:1233-1238.
- Dehdashti F, Mintun MA, Lewis JS, Bradley J, Govindan R, Laforest R. In vivo assessment of tumor hypoxia in lung cancer with  $^{60}\text{Cu}$ -ATSM. *Eur J Nucl Med Mol Imaging* 2003;30:844-850.
- Fujibayashi Y, Taniuchi H, Yonekura Y, Ohtani H, Konishi J, Yokoyama A. Copper-62-ATSM: a new hypoxia imaging agent with high membrane permeability and low redox potential. *J Nucl Med* 1997;38:1155-1160.
- Lewis JS, McCarthy DW, McCarthy TJ, Fujibayashi Y, Welch MJ. Evaluation of  $^{64}\text{Cu}$ -ATSM in vitro and in vivo in a hypoxic tumor model. *J Nucl Med* 1999;40:177-183.
- Lewis JS, Sharp TL, Laforest R, Fujibayashi Y, Welch MJ. Tumor uptake of copper-diacetyl-bis(N4-methylthiosemicarbazone): effect of changes in tissue oxygenation. *J Nucl Med* 2001;42:655-661.
- Takahashi N, Fujibayashi Y, Yonekura Y, Welch MJ, Waki A, Tsuchida T, Sadato N, Sugimoto K, Itoh H. Evaluation of  $^{62}\text{Cu}$  labeled diacetyl-bis(N4-methylthiosemicarbazone) as a hypoxic tissue tracer in patients with lung cancer. *Ann Nucl Med* 2000;14:323-328.
- Tanaka T, Furukawa T, Fujieda S, Kasamatsu S, Yonekura Y, Fujibayashi Y. Double-tracer autoradiography with Cu-ATSM/FDG and immunohistochemical interpretation in four different mouse implanted tumor models. *Nucl Med Biol* 2006;33:743-750.
- Obata A, Kasamatsu S, McCarthy DW, Welch MJ, Saji H, Yonekura Y, Fujibayashi Y. Production of therapeutic quantities of  $^{64}\text{Cu}$  using a 12 MeV cyclotron. *Nucl Med Biol* 2003;30:535-539.
- Burgman P, O'Donoghue JA, Lewis JS, Welch MJ, Humm JL, Ling CC. Cell line-dependent differences in uptake and retention of the hypoxia-selective nuclear imaging agent Cu-ATSM. *Nucl Med Biol* 2005;32:623-630.
- Obata A, Kasamatsu S, Lewis JS, Furukawa T, Takamatsu S, Toyohara J, Asai T, Welch MJ, Adams SG, Saji H, Yonekura Y, Fujibayashi Y. Basic characterization of  $^{64}\text{Cu}$ -ATSM as a radiotherapy agent. *Nucl Med Biol* 2005;32:21-28.
- Dehdashti F, Grigsby PW, Lewis JS, Laforest R, Siegel BA, Welch MJ. Assessing tumor hypoxia in cervical cancer by PET with  $^{60}\text{Cu}$ -labeled diacetyl-bis(N4-methylthiosemicarbazone). *J Nucl Med* 2008;49:201-205.
- Grigsby PW, Malyapa RS, Higashikubo R, Schwarz JK, Welch MJ, Huettner PC. Comparison of molecular markers of hypoxia and imaging with  $^{60}\text{Cu}$ -ATSM in cancer of the uterine cervix. *Mol Imaging Biol* 2007;9:278-283.
- Dietz DW, Dehdashti F, Grigsby PW, Malyapa RS, Myerson RJ, Picus J, Ritter J, Lewis JS, Welch MJ, Siegel BA. Tumor hypoxia detected by positron emission tomography with  $^{60}\text{Cu}$ -ATSM as a predictor of response and survival in patients undergoing neo-adjuvant chemoradiotherapy for rectal carcinoma: a pilot study. *Dis Colon Rectum* 2008;51: 1641-1648.
- Obata A, Yoshimi E, Waki A, Lewis JS, Oyama N, Welch MJ, Saji H, Yonekura Y, Fujibayashi Y. Retention mechanism of hy-

- poxia selective nuclear imaging/radio-therapeutic agent Cu-diacetyl-bis(N4-methylthio-semicarbazone) (Cu-ATSM) in tumor cells. *Ann Nucl Med* 2001;15:499-504.
23. Dearling JL, Lewis JS, Mullen GE, Welch MJ, Blower PJ. Copper bis (thiosemicarbazone) complexes as hypoxia imaging agents: structure activity relationships. *J Biol Inorg Chem* 2002;7:249-259.
  24. Holland JP, Giansiracusa JH, Bell SG, Wong LL, Dilworth JR. In vitro kinetic studies on the mechanism of oxygen-dependent cellular uptake of copper radiopharmaceuticals. *Phys Med Biol* 2009;54:2103-2119.
  25. Obata A, Yoshimoto M, Kasamatsu S, Naiki H, Takamatsu S, Kashikura K, Furukawa T, Lewis JS, Welch MJ, Saji H, Yonekura Y, Fujibayashi Y. Intra-tumoral distribution of  $^{64}\text{Cu}$ -ATSM: a comparison study with FDG. *Nucl Med Biol* 2003;30:529-534.
  26. Chao KS, Bosch WR, Mutic S, Lewis JS, Dehdashti F, Mintun MA, Dempsey JE, Perez CA, Purdy JA, Welch MJ. A novel approach to overcome hypoxic tumor resistance: Cu-ATSM-guided intensity-modulated radiation therapy. *Int J Radiat Oncol Biol Phys* 2001;49:1171-1182.
  27. Takahashi N, Fujibayashi Y, Yonekura Y, Welch MJ, Waki A, Tsuchida T, Sadato N, Sugimoto K, Nakano A, Lee JD, Itoh H. Copper-62 ATSM as a hypoxic tissue tracer in myocardial ischemia. *Ann Nucl Med* 2001;15:293-296.
  28. Lewis J, Laforest R, Buettner T, Song S, Fujibayashi Y, Connett J, Welch MJ. Copper-64-diacetyl-bis(N4-methylthiosemicarbazone): an agent for radiotherapy. *Proc Natl Acad Sci USA* 2001;98:1206-1211.